## La synchronisation spontanée : des applaudissements aux métronomes

#### Guilhem Repetto, candidat n°20389

Dans la nature, on observe de nombreux phénomènes de synchronisation entre des individus de même espèce. On peut penser qu'ils se sont développés au cours de l'évolution pour optimiser les chances de survie du groupe. On peut par exemple citer :

- la synchronisation du chant des cigales;
- la synchronisation du clignotement des lucioles mâles, probablement pour émettre une lumière plus forte à plusieurs et donc attirer plus de femelles;
- la synchronisation des menstruations entre femmes ou "effet dortoir", et mammifères en général, qui vivent suffisamment proches les unes des autres;
- la synchronisation de la migration des oiseaux, tortues, poissons, qui permet à un plus grand nombre de ces individus de parvenir à destination en affrontant à plusieurs les aléas de la route;
- la synchronisation de la nage de certains groupes de poissons, qui permet une plus grande vigilance vis-à-vis des prédateurs et une rapide diffusion de l'information en cas de danger;
- la synchronisation de la fuite d'un troupeau, initiée par un individu qui entraîne toute la masse.

Dans notre univers technologique, la synchronisation est un enjeu important dans certains domaines comme par exemple celui de l'énergie électrique. Un réseau de transport et distribution comporte comme source plusieurs générateurs de natures différentes. En Europe, la fréquence choisie est de 50 Hz. Les différentes centrales sont surveillées et contrôlées pour rester en phase et synchrones, afin de prévenir des résonances destructrices [5].

C'est cependant un autre phénomène qui a motivé mon étude. On observe souvent, lors des applaudissements du public à la fin d'un spectacle, une période où tout l'auditoire applaudit en rythme. D'abord aléatoires, les applaudissements finissent parfois par se synchroniser. Ce phénomène n'a pas une origine strictement biologique comme c'est le cas chez les lucioles. On peut avancer plusieurs hypothèses d'ordre sociologique et comportementale :

- l'instinct grégaire qui pousse chacun à ne pas se distinguer et à entrer dans le rythme;
- des spectateurs enthousiastes coopèrent volontiers et consciemment à la synchronisation afin d'optimiser le volume sonore produit et ainsi obtenir un bis;

L'applaudissement synchronisé serait un message à l'adresse des artistes. Quand il se produit, ce phénomène peut être plus ou moins marqué et plus ou moins long. Il peut être atténué ou renforcé selon les réactions des artistes. Il peut disparaître et se produire plusieurs fois pendant la séquence d'applaudissements.

Comment ces périodes de synchronisation se développent-elles?

Appliqué à d'autres situations, ce modèle peut présenter un intérêt réel. Par exemple, dans un réseau de machines tournantes comme des turbines, on peut imaginer que si

plusieurs d'entre elles sont mal équilibrées, il peut se produire des mouvements parasites amplifiés par une éventuelles synchronisation.

## Table des matières

T	Cadre theorique	4
1	Cadre de l'étude, considérations théoriques1.1 Définitions, vocabulaire1.2 Le modèle général de Winfree1.3 Le modèle de Kuramoto	<b>4</b> 4 4
2	Étude des influenceurs         2.1 Les couplages dissymétriques	<b>5</b> 5 6
II	Expériences	7
3	Conception d'une expérience	8
4	Réalisation des expériences	8
5	Traitement et analyse des résultats 5.1 Fonctionnement du programme utilisé	
II	I Annexes	11
6	Simulation de différents couplages pour les mêmes conditions initiales	11
7	Détails des expériences	12
8	Données obtenues lors des expériences	14
	Preuve des théorèmes  9.1 Stabilité du modèle de Kuramoto pour une équirépartition des phases  9.2 Première approche naïve du théorème 1 :	18 18 18 21 22 22
$\mathbf{T}0$	Code source des programmes python	22

#### Première partie

## Cadre théorique

#### 1 Cadre de l'étude, considérations théoriques

#### 1.1 Définitions, vocabulaire

Nous étudions l'influence de plusieurs individus effectuant une action répétitive, perçue par l'ensemble du groupe. Nous désignerons par le terme général **oscillateur** chaque individu. Chaque oscillateur possède une fréquence d'oscillation (ou de rotation), ainsi qu'une phase variant en fonction du temps.

Le nombre d'oscillateurs considérés est un nombre entier noté N. On parlera indifféremment des oscillateurs  $1, \ldots, N$  ou des oscillateurs  $O_1, \ldots, O_N$ . Pour un oscillateur i, on considère de plus :

- $\theta_i$  sa phase instantanée
- $\dot{\theta}_i$  sa fréquence instantanée
- $\omega_i$  sa fréquence naturelle

#### 1.2 Le modèle général de Winfree

Winfree [2] propose un modèle dans lequel la phase de chaque oscillateur est influencée par une combinaison de paramètres de l'ensemble des oscillateurs. Pour chaque  $i \in [1; N]$ , l'équation de la phase de l'oscillateur  $O_i$  est

$$\dot{\theta_i} = \omega_i + \left(\sum_{j=1}^N X(\theta_j)\right) Z(\theta_i)$$

où:

- chaque oscillateur  $O_j$  exerce une influence X sur l'oscillateur  $O_i$ . Cette influence dépend de sa phase, d'où la fonction  $X(\theta_i)$ ;
- $Z(\theta_i)$  est la fonction représentant la sensibilité de l'oscillateur  $O_i$ , qui dépend de  $\theta_i$ .

#### 1.3 Le modèle de Kuramoto

Kuramoto [1] considère un cas particulier du modèle de Winfree :

$$\dot{\theta}_i = \omega_i + \sum_{j=1}^{N} \Gamma_{ij} (\theta_j - \theta_i)$$

Ici, la sensibilité Z de chaque oscillateur est constante, égale à 1. Dans ce modèle,  $\Gamma \in \mathcal{M}_N(\mathbb{R}_+^{\mathbb{R}})$  est la matrice de couplage entre les oscillateurs. Ainsi, la fonction  $\Gamma_{i,j}$  représente le couple entre les oscillateurs i et j. Pour  $t \in \mathbb{R}_+$ , le scalaire  $\Gamma_{i,j}(t)$  représente le couple entre i et j à l'instant t. Kuramoto pose que l'influence entre les oscillateurs est identique et proportionnelle au sinus de la différence des phases. Il pose donc :

$$\forall (i,j) \in [1;N], \ \Gamma_{ij}(\theta_j - \theta_i) = \frac{K}{N}\sin(\theta_j - \theta_i)$$

où K est une constante positive qui représente le couple entre deux oscillateurs. L'utilisation de la fonction sinus a plusieurs intérêts :

- l'influence mutuelle est faible si des oscillateurs sont presque en phase, et forte s'ils sont plus décalés;
- la fonction sinus étant impaire, il y a une attraction mutuelle : si la phase de  $\theta_i$  se rapproche de celle de  $\theta_i$ , alors celle de  $\theta_i$  se rapproche aussi de celle de  $\theta_i$ ;
- enfin, le système reste stable s'il y a parfaite opposition de phase, c'est-à-dire si  $\theta_j = \theta_i + \pi$ , car, dans ce cas,  $\sin(\theta_i \theta_j) = \sin(\pi) = 0$ . Plus généralement, si les différentes phases sont équiréparties sur l'intervalle  $[0; 2\pi]$ , le système reste stable.

Cela est cohérent avec la situation étudiée : lors d'applaudissements, il se peut que certains applaudissent à contre-temps, sans que le rythme ne soit affecté. Le modèle théorique énonce que cet équilibre s'établit si les phases sont parfaitement équiréparties.

Par exemple, avec 3 oscillateurs, on obtient la matrice de couplage:

$$\Gamma(x) = \frac{K}{3} \begin{pmatrix} 0 & \sin(x) & \sin(x) \\ \sin(x) & 0 & \sin(x) \\ \sin(x) & \sin(x) & 0 \end{pmatrix}$$

En utilisant cette matrice dans l'équation (1.3), on obtient le modèle de Kuramoto :

$$\forall i \in [1, N], \quad \dot{\theta}_i = \omega_i + \frac{K}{N} \sum_{j=1}^N \sin(\theta_j - \theta_i)$$

#### Paramètre d'ordre

Pour visualiser le phénomène, Kuramoto introduit un indicateur complexe de synchronisation  $re^{i\psi}$ :

$$re^{i\psi} = \frac{1}{N} \sum_{j=1}^{N} e^{i\theta_j(t)}$$

Ce "paramètre d'ordre" est interprété comme le rythme collectif produit par l'ensemble des oscillateurs. Il vérifie  $r \in [0,1]$  et  $\psi \in [0,2\pi[$ .

Si r est proche de 0, alors les phases sont éparpillées dans tout l'intervalle  $[0, 2\pi[$ . Si r est proche de 1, alors les phases sont proches les unes des autres, et l'ensemble des oscillateurs agit comme un unique oscillateur géant. Le nombre  $\psi$  représente la phase moyenne. On montre que le modèle de Kuramoto se met alors sous la forme :

$$\theta_i = \omega_i + Kr\sin(\psi - \theta_i)$$

Chaque oscillateur apparaît alors couplé uniquement à la moyenne de l'ensemble : la phase  $\theta_i$  est reliée à la phase moyenne  $\psi$ , et le couplage devient proportionnel à la cohérence r. Cela montre une réaction de tendance à la synchronisation : plus les oscillateurs sont en phase, plus r croît, ce qui favorise la synchronisation [4].

#### 2 Étude des influenceurs

#### 2.1 Les couplages dissymétriques

Un influenceur ayant pour but conscient de propager son rythme, nous supposons que sa sensibilité envers les autres est très faible. Autrement dit, le couplage est dans ce cas

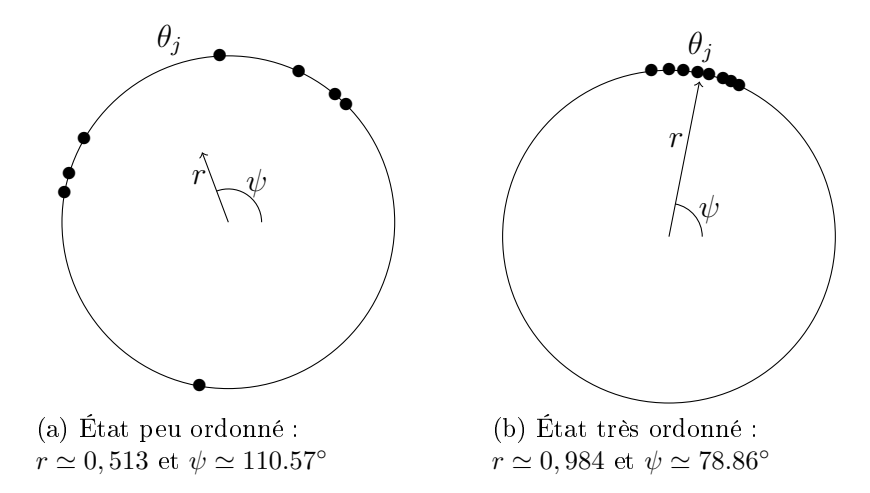


FIGURE 1 – Différentes situations avec le paramètre d'ordre associé

dissymétrique : fort de lui vers les autres et faible voire nul des autres vers lui. Cela se traduit dans le modèle par le fait que la matrice  $\Gamma$  d'abord supposée antisymétrique (i.e  $\forall i,j \in [\![1,N]\!]$ ,  $\Gamma_{i,j}=-\Gamma_{j,i}$ ) ne l'est plus. Par exemple, avec 3 oscillateurs, si  $\theta_1$  est un influenceur, on peut obtenir une matrice du type :

$$\Gamma(x) = \frac{K}{3} \begin{pmatrix} 0 & 2\sin(x) & 2\sin(x) \\ 0 & 0 & \sin(x) \\ 0 & \sin(x) & 0 \end{pmatrix}$$

L'influence de  $\theta_1$  vers les autres est la plus importante :  $\Gamma_{1,2}$  et  $\Gamma_{1,3}$  valent tous deux  $2\sin$ . Les autres ne l'influencent pas :  $\Gamma_{2,1}$  et  $\Gamma_{3,1}$  sont égaux à la fonction nulle.

#### 2.2 Le cas particulier N=2

Plaçons-nous dans le cas N=2. On suppose que  $O_1$  est influenceur : il influence  $O_2$  sans être influencé. On a donc :  $\Gamma_{2,1}=0$  et  $\Gamma_{1,2}\neq 0$ . Dans ce cas, on adoptera le symbolisme suivant :

$$O_1 \rightarrow O_2$$
 si  $\Gamma_{2,1} = 0$   
 $O_1 \not\rightarrow O_2$  sinon

**Théorème 1.** Dans le cas d'une différence de phases non-égale à  $\pi$  à l'origine des temps, les oscillateurs se synchronisent, c'est-à-dire :

$$\lim_{t \to +\infty} \theta_2(t) - \theta_1(t) = 0$$

#### 2.3 Généralisation aux chaînes et arbres d'influenceurs

On peut généraliser cette propriété à des chaînes d'influenceurs. Nous supposons que  $N \geq 2$ .

**Chaîne d'influence** Les oscillateurs sont disposés en *chaîne d'influence* si et seulement si :

— il existe un unique  $r \in [1; N]$  tel que pour tout  $i \in [1; N]$ ,  $O_i \rightarrow O_r$ 

- pour tout  $i \in [1; N] \setminus \{r\}$ , il existe un unique j tel que  $O_j \to O_i$
- pour tout  $i \in [1; N]$ , l'ensemble des  $O_j$  tels que  $O_i \to O_j$  est soit vide, soit réduit à un unique élément.

**Arbre d'influence** Les oscillateurs sont disposés en arbre d'influence si et seulement si :

- il existe un unique  $r \in [1; N]$  tel que pour tout  $i \in [1; N]$ ,  $O_i \rightarrow O_r$
- pour tout  $i \in [1; N] \setminus \{r\}$ , il existe un unique j tel que  $O_j \to O_i$
- pour tout  $i \in [1; N] \setminus \{r\}$ , il existe un entier n et  $(O_{j_1}, \ldots, O_{j_n})$  tels que

$$O_r \to O_{i_1} \to \cdots \to O_{i_n} \to O_i$$

Dans les deux cas, on dira que  $O_i$  est un ancêtre de  $O_j$  si et seulement s'il existe des oscillateurs  $O_{i_0}, \ldots, O_{i_r}$  tels que

$$O_i \to O_{i_0} \to \cdots \to O_{i_r} \to O_j$$

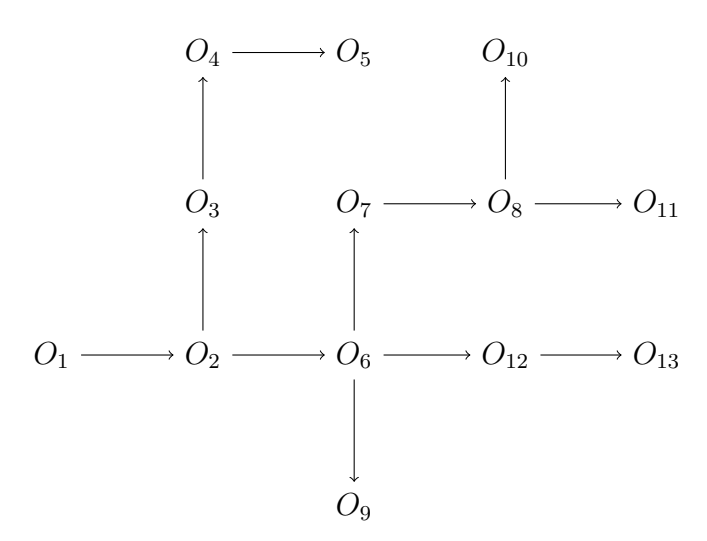
**Théorème 2.** Soient N oscillateurs disposés en chaîne d'influence :

$$O_1 \longrightarrow O_2 \longrightarrow O_3 \longrightarrow \cdots \longrightarrow O_{N-1} \longrightarrow O_N$$

Dans cette chaîne, pour tout i de [2; N], l'oscillateur  $O_i$  n'est influencé que par  $O_{i-1}$ . On obtient :

$$\forall i \in [1; N], \lim_{t \to +\infty} \theta_i(t) - \theta_1(t) = 0$$

Corollaire 1. Ce résultat est encore valable lorsque les oscillateurs sont disposés en arbre d'influence, par exemple :



On obtient encore:

$$\forall i \in [2; N], \lim_{t \to +\infty} \theta_i(t) - \theta_1(t) = 0$$

### Deuxième partie

## Expériences

#### 3 Conception d'une expérience

Pour tenter de confirmer les résultats théoriques précédemment établis, j'ai eu deux idées :

- Tenter d'influencer les applaudissements d'une salle non-avertie, en installant des compères dans une salle qui applaudiraient en rythme dès le début et essaieraient de propager leur synchronisation;
- Réaliser un dispositif mécanique, électronique ou informatique pour simuler des individus.

La première idée était tentante. Elle nécessitait beaucoup de préparation et de matériel : il faudrait par exemple idéalement disposer plusieurs micros pour étudier la dynamique de la salle. La pandémie actuelle rend difficile l'organisation de telles expériences car les salles de concert sont fermées.

J'ai donc opté pour le dispositif mécanique. L'objet se rapprochant le plus d'un oscillateur naturel est le métronome mécanique. J'ai choisi d'en utiliser quatre, que j'ai fixés sur une planche de bois. Pour permettre l'influence mutuelle des métronomes, j'ai placé cette planche de bois sur deux tubes métalliques identiques afin de lui laisser un degré de liberté. L'idée est d'observer le mouvement des métronomes, lorsqu'ils sont réglés sur la même fréquence et lancés au hasard, en espérant observer leur synchronisation suffisamment durable. Les métronomes mécaniques sont équipés d'une masselotte qui permet de régler leur fréquence, et qui de plus permet l'équilibre du système. J'ai retiré cette masselotte pour que chaque métronome induise un mouvement du support. Ensuite, comme les métronomes ne sont pas rigoureusement identiques à cause de défauts de fabrication, j'ai utilisé des pastilles adhésives pour les calibrer. A l'aide du logiciel Phyphox, qui possède un chronomètre sonore, j'ai ajusté les quantités de pâte que j'ai collée sur le balancier afin que chaque métronome, privé de sa masselotte, batte à environ 275 battements par minute. L'analyse des battements par ce même logiciel m'a permis de détecter un phénomène que je n'attendais pas : la régularité entre deux battements successifs évolue dans le temps. Deux battements successifs n'ont en effet jamais rigoureusement la même période à cause de la nature du mécanisme utilisé qui n'est pas symétrique. Cependant, on observe des moments où l'irrégularité est forte, et d'autres où les battements sont très réguliers. Ce phénomène semble, de plus, périodique. Je pense qu'il est dû à la rotation d'un engrenage interne défectueux (voir la figure??).

J'ai filmé le tout et effectué un pointage de la position du sommet de chaque balancier. Comme la planche sur laquelle les métronomes reposent bouge très peu par rapport aux balanciers, j'ai décidé de négliger son mouvement. Je considère donc que chaque métronome est immobile dans le traitement des données.

### 4 Réalisation des expériences

J'ai utilisé une planche de  $20 \times 86 \times 445$  mm, de masse 625 g et deux rouleaux en inox d'une circonférence de 16 mm, de masse 45 g. Le tout est éclairé d'une barre de leds blanches, et le fond utilisé est un voile gris uniforme. J'ai filmé avec un appareil photo

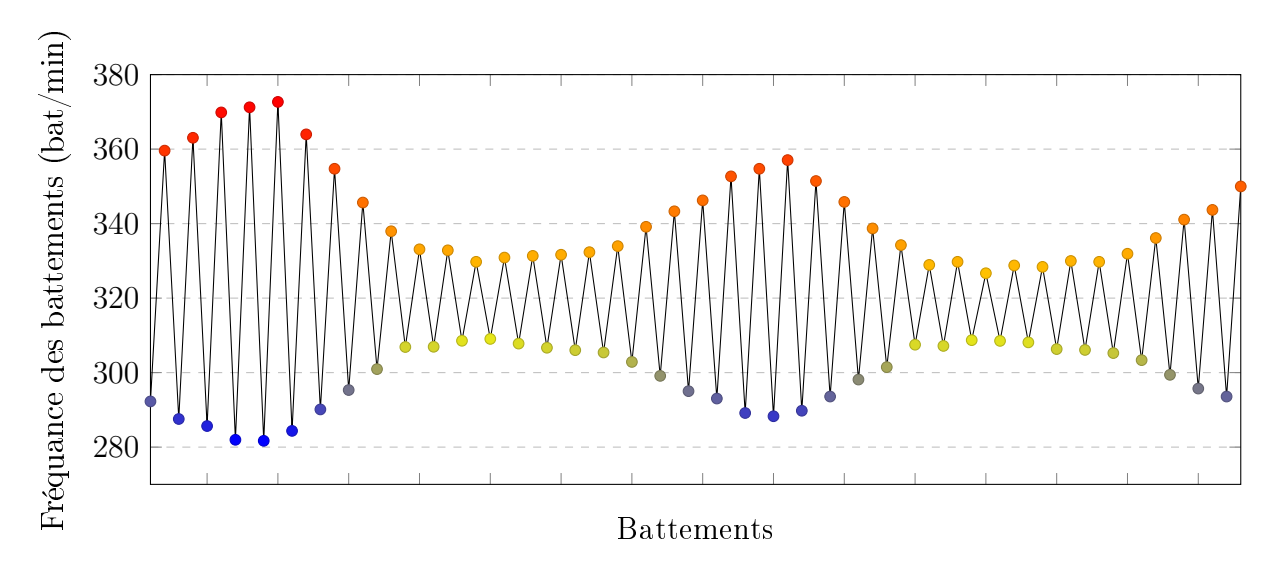


FIGURE 2 – Durée battements consécutifs d'un métronome, qui varie de au cours du temps. Il y a une alternance entre des périodes où les battements sont relativement réguliers (0,0125 secondes de différence) et des périodes où l'irrégularité est plus grande (0,052 secondes de différence), et ce phénomène semble périodique.

numérique Fuji x20 réglé sur 80 images par seconde.

#### 5 Traitement et analyse des résultats

#### 5.1 Fonctionnement du programme utilisé

Le traitement des images a été réalisé à l'aide d'un programme Python que j'ai mis au point qui détecte les cercles. L'idée pour suivre efficacement chaque métronome est de placer une cible circulaire sur le haut de chaque balancier, et de trouver le centre de ces cible sur chaque image de la vidéo. Pour tenter d'obtenir du contraste, j'ai réalisé plusieurs cibles colorées plus ou moins compliquées, mais les résultats n'étaient pas satisfaisants. Je me suis finalement contenté de cibles blanches. En réalisant un fort contraste entre les cibles et le reste de l'image, on parvient, en convertissant les images en binaire (noir ou blanc) à ne conserver sur l'image que les cibles visibles.

Le programme utilisé convertit chaque image de la vidéo en image binaire et détermine la position des cercles qui apparaissent blancs sur un fond noir. La sensibilité de cette conversion peut être réglée de sorte à n'obtenir à la fin que les cercles. Une des difficultés est d'initialiser la recherche. Pour ce faire, une transformée de Hough circulaire est effectuée sur la première image (voir paragraphe 5.2). On obtient ainsi une liste de coordonnées qui correspondent aux centres des cercles présents. Pour les images suivantes, le traitement est plus simple : on fait la moyenne des coordonnées des points blancs trouvés dans un voisinage des centres de cercles. Ainsi, comme les parcours des balanciers ne se croisent pas, on est sûr par cette méthode de ne prendre en compte que les bons points.

La rapidité est satisfaisante : environ 2 minutes pour une vidéo de 2400 images comportant quatre métronomes, soit 80 centres ce cercles calculés par seconde.

#### 5.2 La transformée de Hough circulaire

La transformée de Hough [3] est une méthode permettant de détecter une forme précise dans une image. Le programme Python utilise ici une transformée de Hough circulaire qui permet de détecter les cercles présents sur l'image. Dans notre cas, pour une image binaire où le fond est noir et dont les éventuels cercles sont blancs, la recherche de cercles de rayon R fixé se fait selon le principe suivant :

On calcule d'abord le gradient de l'image pour ne garder que les discontinuités dans la couleur. On obtient alors des lignes fermées blanches sur fond noir. On définit une "matrice d'accumulation" de mêmes dimensions que l'image, dont toutes les valeurs sont initialisées à 0. Pour chaque point blanc dans l'image, on incrémente de 1 chaque case de la matrice dont la distance au point blanc vaut R. Cela fait, on recherche les maxima locaux dans la matrice : ce sont les centres des cercles de rayon R.

Il suffit d'appliquer cet algorithme avec plusieurs valeurs de R pour trouver tous les cercles dont le rayon est dans une certaine plage.

#### 5.3 Format des données obtenues

Le programme Python fournit des listes de coordonnées du type :

Numéro $n$ de l'image	X1(n)	Y2(n)	X2(n)	Y2(n)	
0	28	16	152	17	
1	29	17	150	18	
2	30	17	149	17	
3	29	17	148	17	
4	27	16	146	16	

Le sommet de chaque balancier décrit bien un arc de cercle, mais je néglige la mesure des hauteurs car elles ne me semblent pas importantes : elles varient peu, et je souhaite simplement obtenir un signal périodique. Je ne garde ainsi que les mesures de x(t). Le graphe de (t, x(t)) ressemble d'ailleurs assez à une fonction sinusoïdale (voir la figure 3). Enfin, une fois que les positions sont déterminées, je calcule pour chaque métronome la moyenne globale de ses positions en x et y que je soustrais à l'ensemble des mesures. J'obtiens donc pour chaque métronome des mesures en x et y centrées en 0. Cela permet de superposer virtuellement les métronomes.

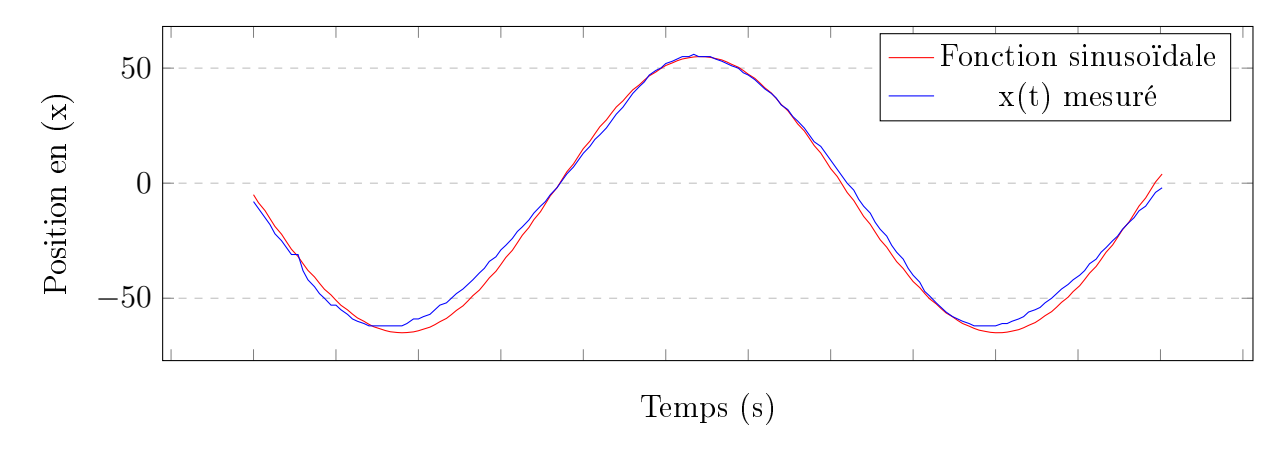
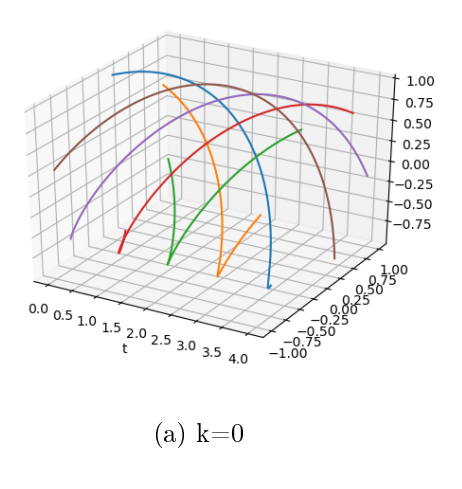


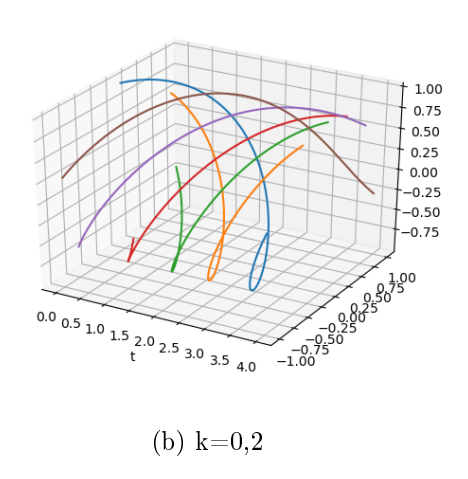
FIGURE 3 – Comparaison entre le mouvement du balancier et une fonction sinusoïdale

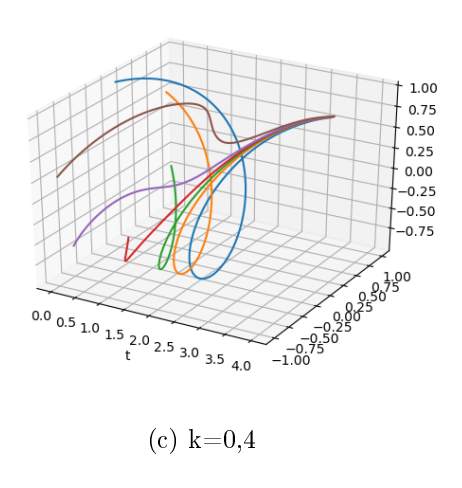
## Troisième partie

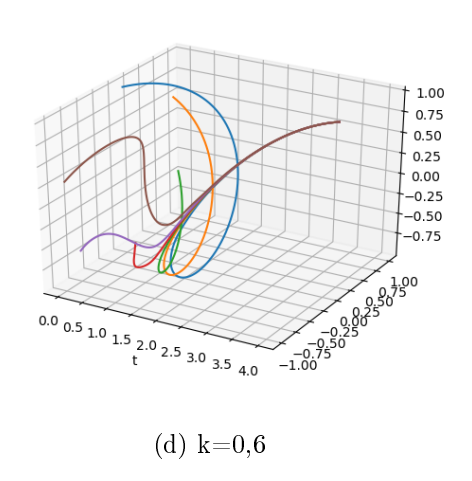
## Annexes

# 6 Simulation de différents couplages pour les mêmes conditions initiales









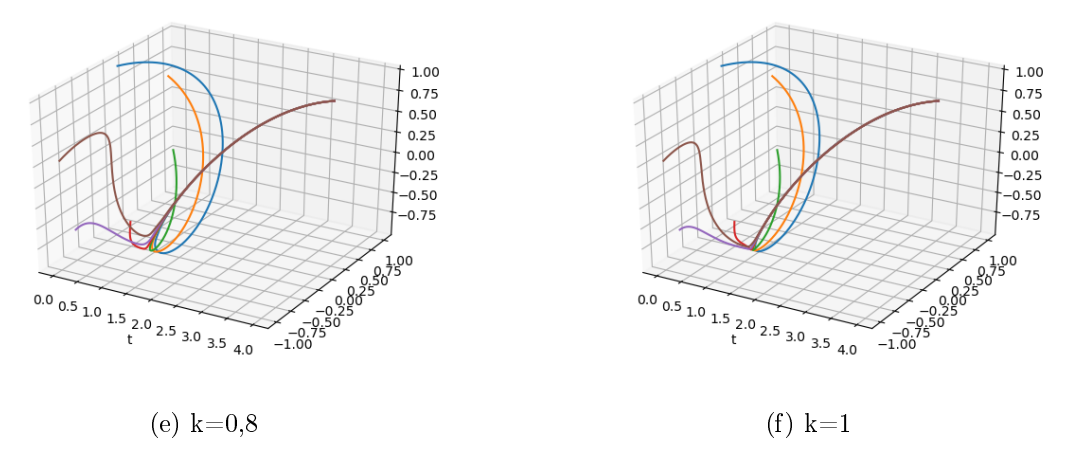


FIGURE 4 – Phases de départ : 0,1,2,3,4 et 5 radians, fréquence naturelle : 1 rad/s Nous constatons que la synchronisation est d'autant plus rapide que le couplage est important. Celle-ci n'a pas lieu si le couplage est nul, les oscillateurs étant dans ce cas indépendants les uns des autres.

#### 7 Détails des expériences

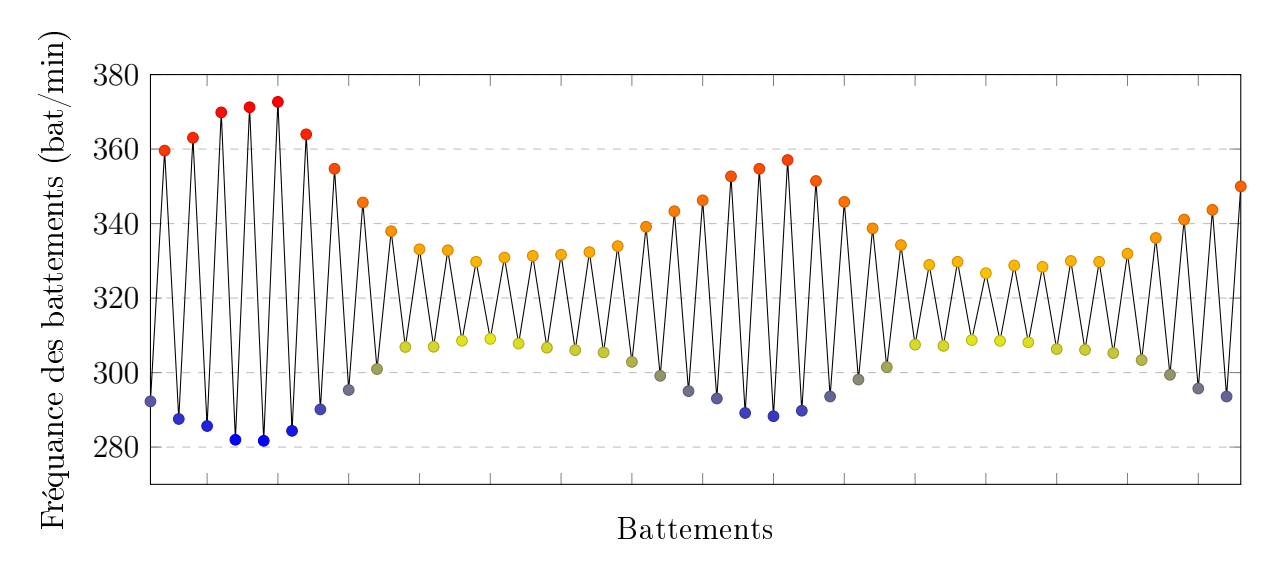


FIGURE 5 – Durée battements consécutifs d'un métronome, qui varie de au cours du temps. Il y a une alternance entre des périodes où les battements sont relativement réguliers (0.0125 secondes de différence) et des périodes où l'irrégularité est plus grande (0.052 secondes de différence), et ce phénomène semble périodique.

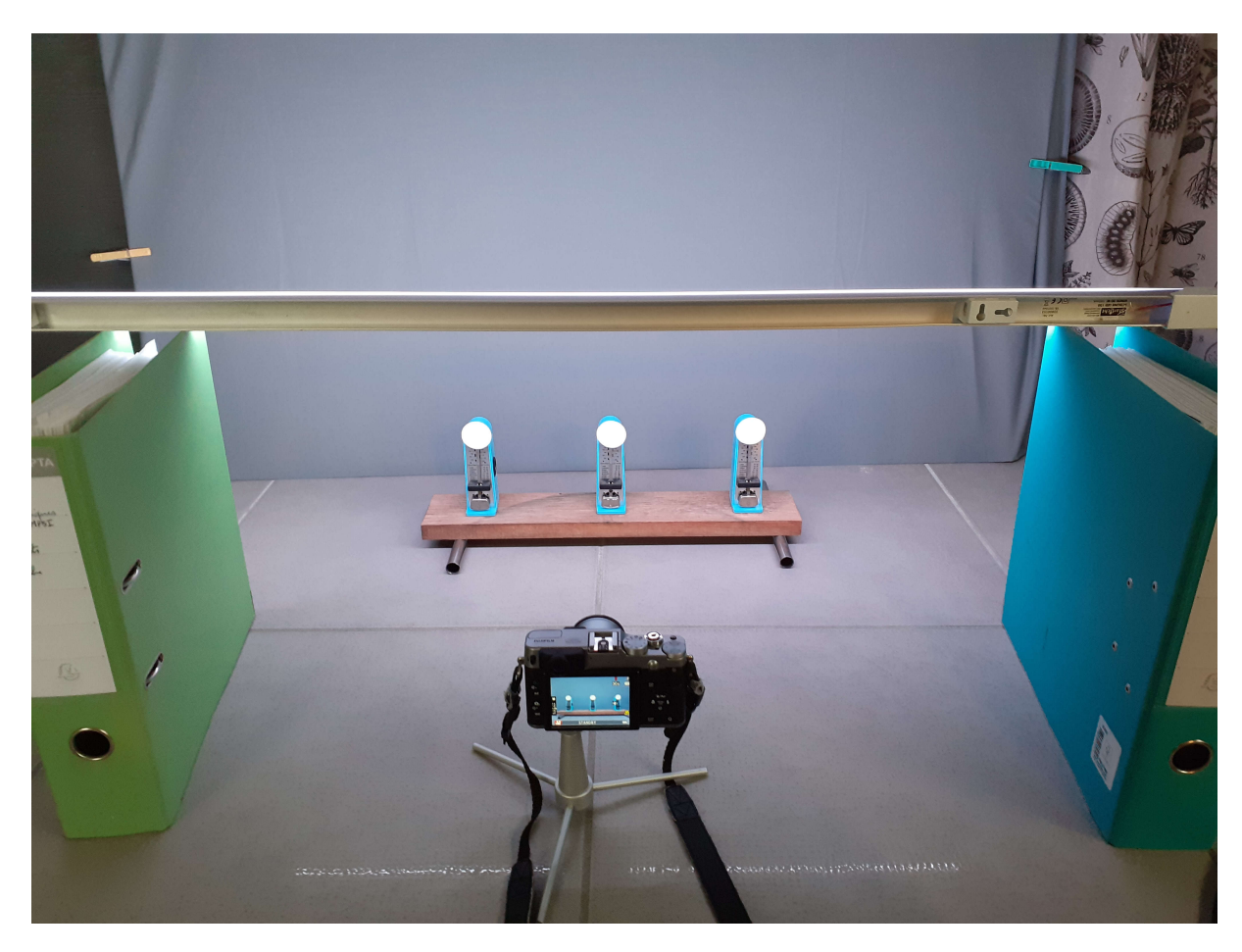
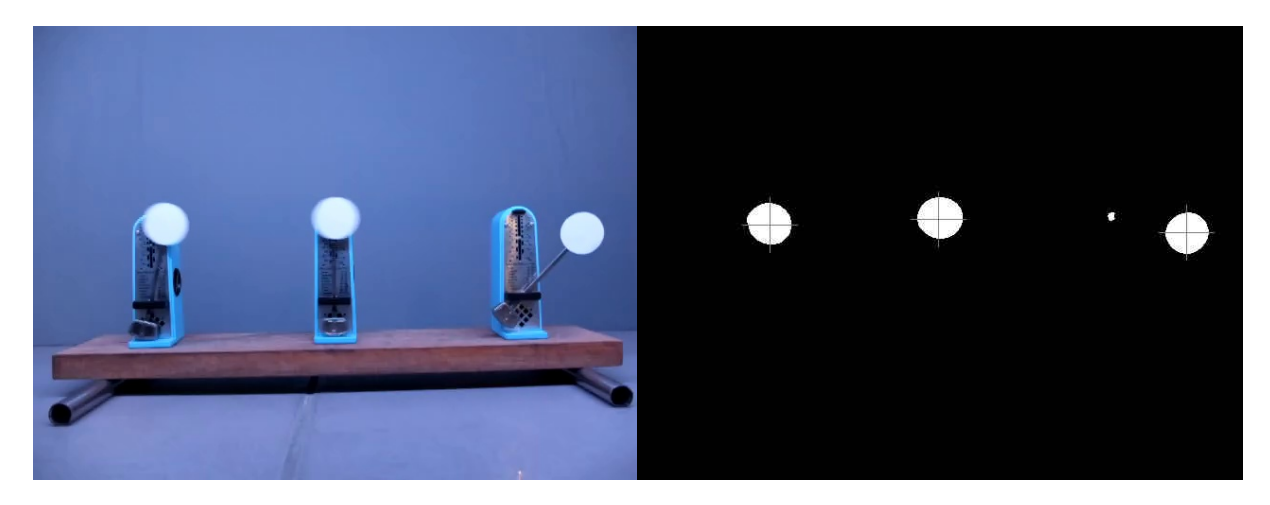


Figure 6 – Mise en place de l'expérience



 $\label{eq:figure} Figure 7-Image initiale puis convertie en image binaire, avec les centres des cercles calculés par le programme$ 

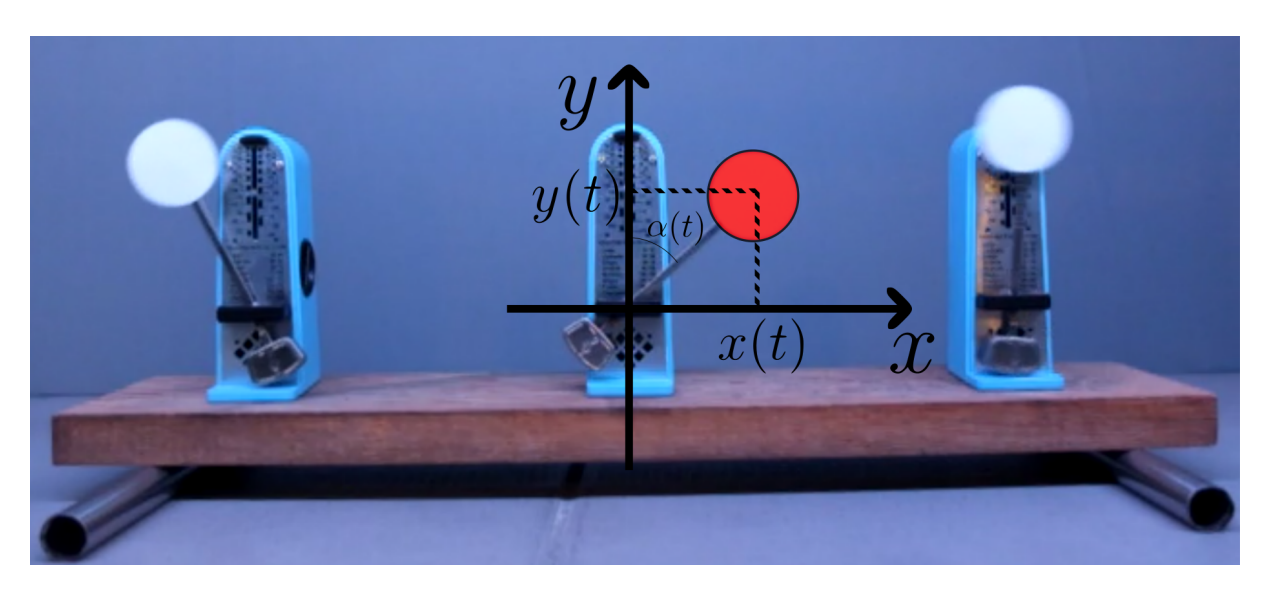


FIGURE 8 – Axes du métronome du centre

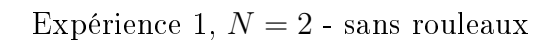
## 8 Données obtenues lors des expériences

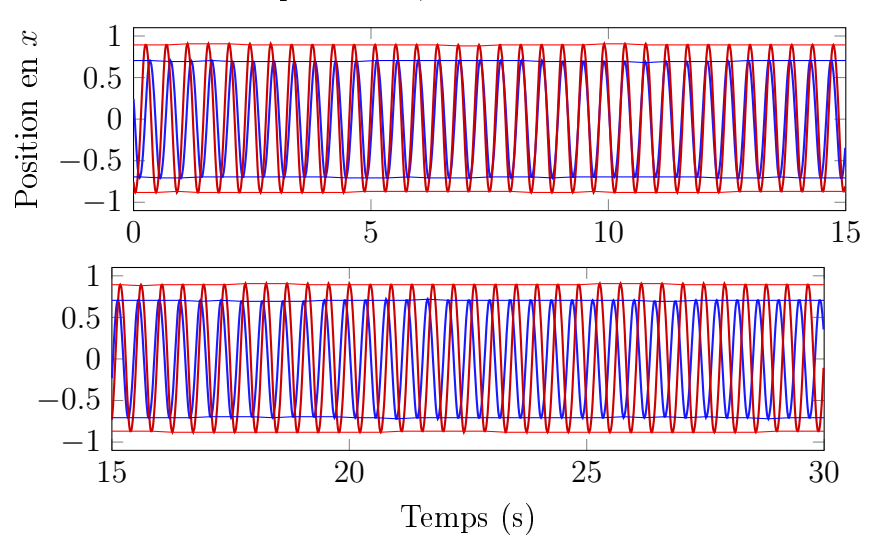
Les 3 métronomes sont réglés sur la même fréquence.

Expérience 1 : ils sont lancés au hasard et non synchronisés dès le départ. On observe une synchronisation progressive en amplitude et fréquence. A la fin, l'état de synchronisation est stable (non montré sur les graphiques).

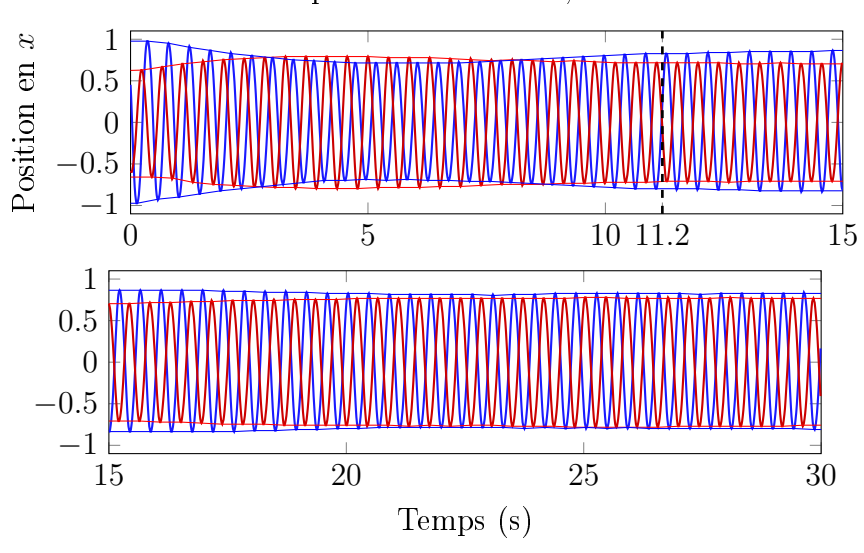
Expérience 2 : ils sont lâchés de sorte que deux soient synchronisés et que le troisième soit en opposition de phase par rapport aux autres.

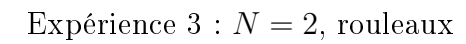
Expérience 3: lancés au hasard, on constate que l'amplitude de l'un domine celles des autres. Au bout d'une dizaine de périodes, le métronome du milieu s'arrête complètement, puis conserve un mouvement uniquement dû aux mouvements des autres métronomes car il demeure silencieux.

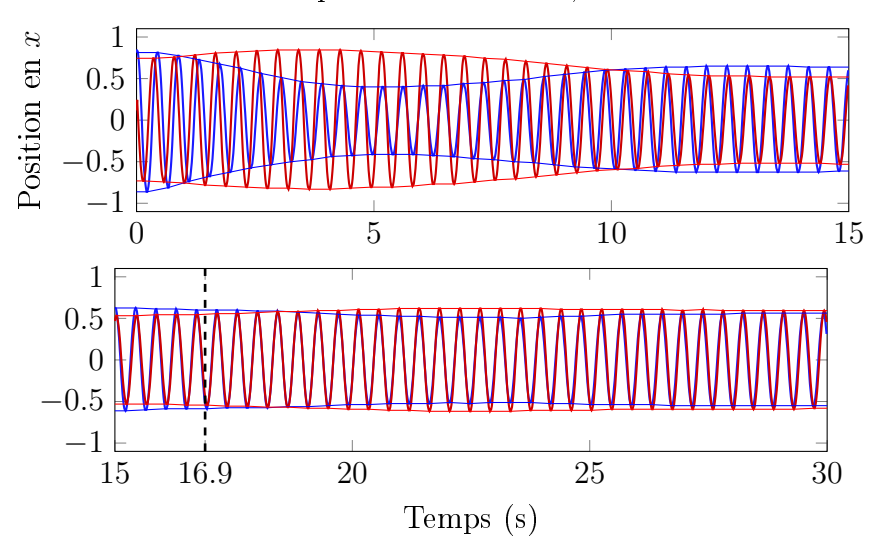




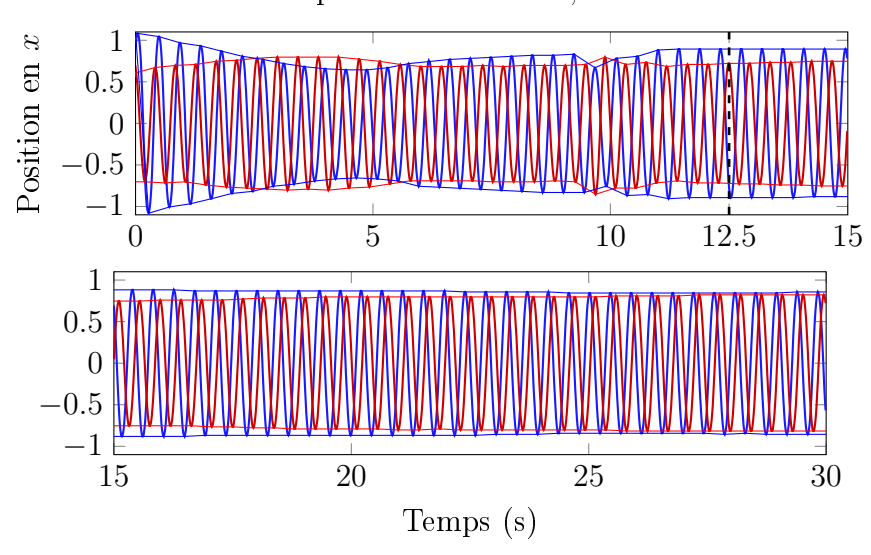
Expérience 2: N = 2, rouleaux

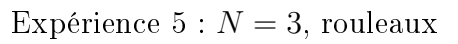


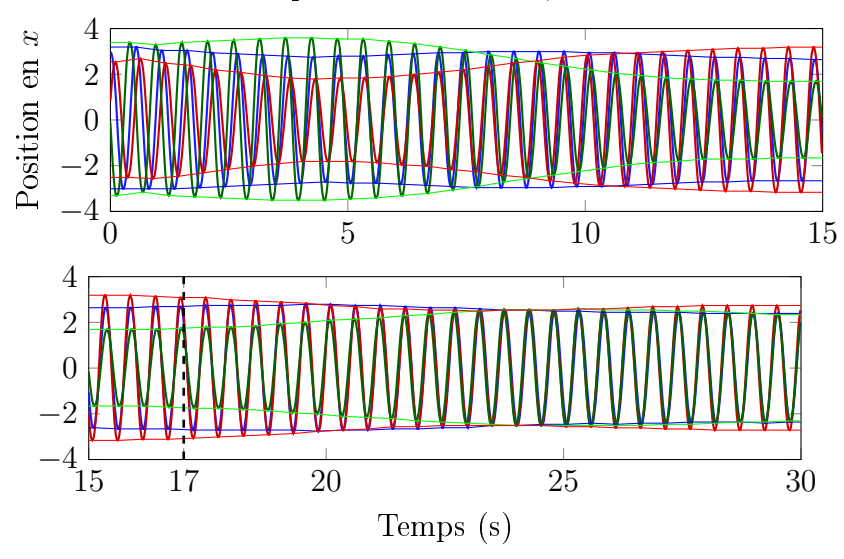




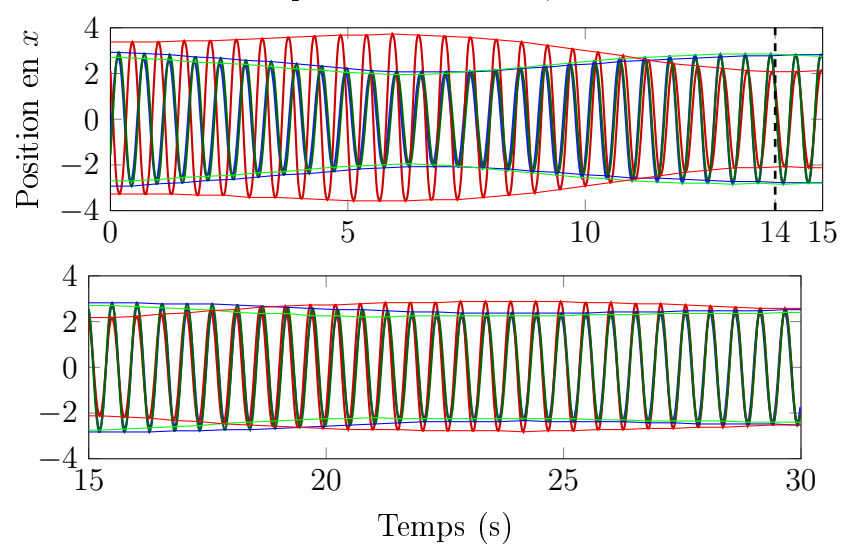
Expérience 4: N = 2, rouleaux







Expérience 6: N = 3, rouleaux



#### 9 Preuve des théorèmes

## 9.1 Stabilité du modèle de Kuramoto pour une équirépartition des phases

Si N oscillateurs possèdent des phases  $\theta, \theta + \frac{2\pi}{N}, \dots, \theta + (N-1)\frac{2\pi}{N}$ , on obtient :

$$\sum_{k=1}^{N} \Gamma_{ik}(\theta_k - \theta_i) = \sum_{k=1}^{N} \sin(\theta + k\frac{2\pi}{N} - \theta)$$
$$= \mathfrak{Im}\left(\sum_{k=1}^{N} e^{i\frac{2k\pi}{N}}\right)$$
$$= 0$$

#### 9.2 Première approche naïve du théorème 1 :

D'après Kuramoto, on obtient le système suivant, en supposant que  $\theta_1$  définit la phase à l'origine :

$$\begin{cases} \theta_1 = \omega_1 t \\ \dot{\theta}_2 = \omega_2 + \frac{k}{d^2} \sin(\theta_1 - \theta_2) \end{cases}$$

Pour de petits angles, on utilise l'approximation  $\sin x \approx x$ , et on obtient l'équation à intégrer (on note  $K = \frac{k}{d^2}$ ) :

$$\dot{\theta}_2 + K\theta_2 = K\omega_1 t + \omega_2$$

La résolution par la méthode de variation de la constante donne :

$$\theta_2(t) = \frac{1}{K}\omega_2 + \omega_1 t - \frac{\omega_1}{K}(1 - e^{-Kt}) + \lambda_0 e^{-Kt}$$

où  $\lambda_0$  est un paramètre réel, c'est-à-dire

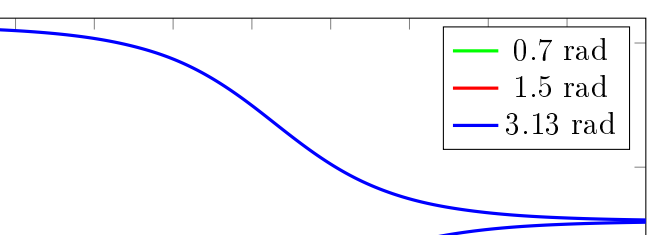
$$\theta_2(t) = \frac{\omega_2 - \omega_1}{K} + \omega_1 t + \left(\frac{\omega_1}{K} + \lambda_0\right) e^{-Kt}$$

Et donc, dans l'hypothèse où  $\omega_1 \approx \omega_2$ , on obtient :

$$\lim_{t \to +\infty} \theta_2(t) - \omega_1 t = 0$$

c'est-à-dire:

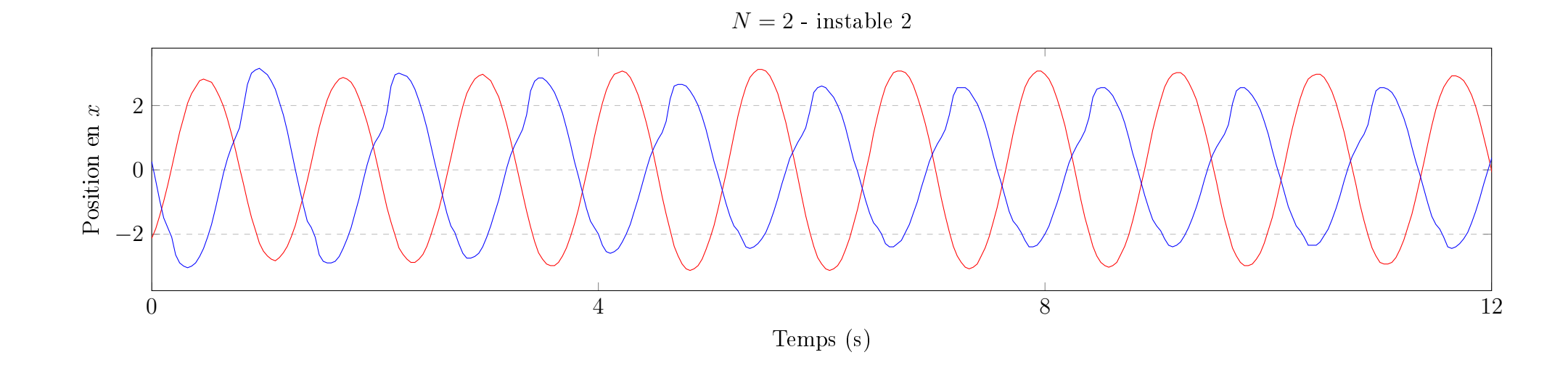
$$\lim_{t \to +\infty} \theta_2(t) - \theta_1(t) = 0$$



Différents déphasages initiaux

3

Déphasage (rad)



#### 9.3 Preuve rigoureuse du théorème 1 :

On considère le système suivant :

$$\begin{cases} \theta_1 = \omega_1 t \\ \dot{\theta}_2 = \omega_2 + \frac{k}{d^2} \sin(\theta_1 - \theta_2) \end{cases}$$

On a supposé que  $\theta_1$  a une phase nulle à l'origine. On fait de plus l'hypothèse que les oscillateurs ont la même fréquence  $\omega$  qui reste constante :  $\omega = \omega_1 = \omega_2$ . On note enfin  $K = \frac{k}{d^2}$ . Par un changement de fonction inconnue en posant

$$\alpha(t) = \theta_2(t) - \omega t$$

on obtient le résultat suivant :

$$\frac{\mathrm{d}}{\mathrm{d}t} \left( \theta_2(t) - \omega t \right) = -K \sin(\theta_2(t) - \omega t)$$

$$\frac{\mathrm{d}\alpha}{\mathrm{d}t} = -K \sin(\alpha)$$

$$\frac{\mathrm{d}\alpha}{\sin \alpha} = -K \mathrm{d}t$$

$$\int \frac{\mathrm{d}\alpha}{\sin \alpha} = -K \int \mathrm{d}t$$

$$\ln|\tan \frac{\alpha}{2}| = -Kt + C$$

$$\tan \frac{\alpha}{2} = \pm \exp(-Kt + C)$$

$$\alpha = \pm 2 \arctan \exp(-Kt + C)$$

$$\theta_2(t) = \omega t \pm 2 \arctan \exp(-Kt + C)$$

En notant  $\varphi$  la phase à l'origine, qui est par hypothèse différente de  $\pi$ , on obtient, si  $\varphi \neq 0$  l'expression de la constante d'intégration C:

$$C = \ln \tan \frac{\varphi}{2}$$

qui est donc bien réelle. Ainsi :

$$\theta_2(t) = \omega t \pm 2 \arctan\left(\tan\left(\frac{\varphi}{2}\right) \exp(-Kt)\right)$$

$$\lim_{t \to +\infty} \theta_2(t) - \theta_1(t) = 0$$

Le théorème est ainsi démontré. On constate la cohérence de l'expression de la fonction  $\theta_2$ : la quantité  $2 \arctan \exp(-Kt + \varphi)$  est à valeurs dans  $[0, \pi[$ : elle représente bien une phase.

<sup>1.</sup> Dans le cas contraire, on aurait  $\theta_1 = \theta_2$ , les oscillateurs seraient synchronisés dès le départ et il n'y aurait rien à démontrer.

#### 9.4 Preuve du théorème 2 :

On utilise le raisonnement par récurrence. D'après le théorème 1,  $O_2$  se synchronise avec  $O_1$ . Montrons que  $O_3$  se synchronise avec  $O_1$ , c'est-à-dire  $\lim_{t \to +\infty} \theta_3(t) - \theta_1(t) = 0$ . On a par hypothèse l'existence d'une fonction  $\epsilon_2$  telle que  $\theta_2(t) = \theta_1(t) + \epsilon_2(t)$  avec  $\lim_{t \to +\infty} \epsilon_2(t) = 0$ . D'après le modèle de Kuramoto, la chaîne  $(\theta_2, \theta_3)$  vérifie le système

$$\begin{cases} \theta_1(t) = \omega_1 t \\ \theta_2(t) = \omega_1 t + \epsilon_2(t) \\ \dot{\theta}_3 = \omega_3 + K \sin(\theta_2(t) - \theta_3) \end{cases}$$

$$\Longrightarrow \begin{cases} \theta_2(t) = \omega_1 t + \epsilon_2(t) \\ \dot{\theta}_3 = \omega_3 + K \sin(\omega_1 t + \epsilon_2(t) - \theta_3) \end{cases}$$

$$\Longrightarrow \begin{cases} \theta_2(t) = \omega_1 t + \epsilon_2(t) \\ \dot{\theta}_3 + K \theta_3 = \omega_3 + K \omega_1 t + K \epsilon_2(t) \end{cases}$$

La résolution par méthode de variation de la constante donne

$$\theta_3(t) = \frac{\omega_3 - \omega_1}{K} + \omega_1 t + \left(\frac{\omega_1}{K} + \lambda_0\right) e^{-Kt} + K e^{-Kt} \int_0^t \epsilon_2(x) e^{Kx} dx$$

$$= \frac{\omega_3 - \omega_1}{K} + \omega_1 t + \left(\frac{\omega_1}{K} + \lambda_0\right) e^{-Kt} + \mathfrak{o}(1)$$

$$= \frac{\omega_3 - \omega_1}{K} + \omega_1 t + \mathfrak{o}(1)$$

où  $\lambda_0$  est un paramètre réel. Comme  $\omega_3 = \omega_1$ , on obtient

$$\lim_{t \to +\infty} \theta_3(t) - \theta_1(t) = 0$$

Donc il existe une fonction  $\epsilon_3$  tendant vers 0 telle que

$$\theta_3(t) = \theta_1(t) + \epsilon_3(t)$$

Cela se généralise pour toute chaîne finie, en considérant pour chaque couple d'oscillateurs  $(\theta_i, \theta_{i+1})$  une nouvelle fonction  $\epsilon_{i+1}$ , définie comme précédemment et tendant vers 0.

#### 9.5 Preuve du corollaire 2 :

Pour un oscillateur  $O_i$ , on considère la chaîne de ses ancêtres qui remonte jusqu'à  $O_0$ . Il suffit alors d'appliquer le théorème 2 à cette chaîne.

#### 10 Code source des programmes python

```
import matplotlib.pyplot as plt
import matplotlib.image as mpimg
import numpy as np
import copy as cp
import cv2
import os
```

```
8 def stamp(frame,x,y):
      global rayon_recherche
      frame[x][y]=128
10
      for d in range(rayon_recherche):
          frame[x-d][y]=128
12
          frame[x+d][y]=128
          frame[x][y-d]=128
1.4
          frame[x][y+d]=128
      return(frame)
17 def centreMoyenne(image,x,y):
      compteur=0
18
      h,l=len(image),len(image[0])
19
      a, b=0,0
21
      global rayon_recherche
      n=rayon_recherche
22
      #print(x,y)
23
      for i in range(2*n):
24
          for j in range(2*n):
25
               if x+i-n>=0 and x+i-n<h and y+j-n>=0 and y+j-n<1:
                   if image[x+i-n][y+j-n] == 255:
27
                       compteur += 1
                       a+=x+i-n
29
                       b + = y + j - n
30
      a/=compteur
31
      b/=compteur
      return float2int([a,b])
33
35 def float2int(1):
      return [int(x) for x in 1]
37 ## Initialisation
38 path='/home/guilhem/Desktop/TIPE/Travail perso/Detection cercle/images/'
39 nomImage='exp16mai/synch1.MOV'
40 cam = cv2. VideoCapture(path+nomImage)
11 rayon_recherche=50
42 flou_gaussien=5
43 try:
      if not os.path.exists(path+'data'):
          os.makedirs(path+'data')
45
46 except OSError:
      print ('Error: Creating directory of data')
48 ## Detection des premiers cercles par Hough
49 cam = cv2.VideoCapture(path+nomImage)
50 existeImage,frame = cam.read()
51 existeImage,frame = cam.read()
52 existeImage,frame = cam.read()
name = path+'data/metronomes_couleur.jpg'
56 cv2.imwrite(name, frame)
58 currentframe = 0
frame = cv2.cvtColor(frame, cv2.COLOR_BGR2GRAY)
60 th, frame = cv2.threshold(frame, 210, 255, cv2.THRESH_BINARY)
frame = cv2.medianBlur(frame, flou_gaussien)
circles = cv2.HoughCircles(frame, cv2.HOUGH_GRADIENT, 1, frame.shape
     [0]/64, param1=200, param2=10, minRadius=20, maxRadius=50)
63 if circles is not None:
     circles = np.uint16(np.around(circles))
```

```
print(circles)
65
       circles=[[cercle[1],cercle[0]] for cercle in circles[0]]
       liste_coord=[[i] for i in circles]
67
       nombreCercles=len(liste_coord)
68
       for c in circles:
           frame=stamp(frame, c[0],c[1])
       cv2.imshow('detected circles',frame)
       cv2.waitKey(0)
72
       cv2.destroyAllWindows()
       name = path+'data/metronomes_binaire.jpg'
       cv2.imwrite(name, frame)
76 else:
       print("Aucun cercle detecte !")
  ## Traitement
  for cercle in range(nombreCercles):
       print("Cercle numero", cercle)
       currentframe = 1
81
       cam = cv2.VideoCapture(path+nomImage)
82
       existeImage,frame = cam.read()
83
       existeImage,frame = cam.read()
       compteur_images=1
       while(existeImage):
86
           if currentframe >= 2 * compteur_images:
87
               compteur_images=currentframe
88
               print('Image '+str(currentframe)+' en cours de traitement')
           frame = cv2.cvtColor(frame, cv2.COLOR_BGR2GRAY)
90
           th, frame = cv2.threshold(frame, 200, 255, cv2.THRESH_BINARY)
91
           frame = cv2.medianBlur(frame, flou_gaussien)
0.9
           liste_coord[cercle].append(centreMoyenne(frame, liste_coord[
      cercle][-1][0], liste_coord[cercle][-1][1]))
           currentframe += 1
94
           # name = path+'data/image' + str(currentframe) + '.jpg'
95
           # cv2.imwrite(name, frame)
           existeImage,frame = cam.read()
97
       print("Il y a", currentframe, "images !")
99 nombreImages = currentframe
  print("Merci pour ce moment")
101 ## Marquage des images
102 currentframe = 0
cam = cv2. VideoCapture(path+nomImage)
104 existeImage,frame = cam.read()
  while (existeImage):
       for cercle in range(nombreCercles):
106
           coordonnee=liste_coord[cercle][currentframe]
107
           if coordonnee[0] > 0 and coordonnee[0] < len(frame) and coordonnee
108
      [1] > 0 and coordonnee[1] < len(frame[0]):
               frame = stamp(frame, coordonnee[0], coordonnee[1])
109
       name = path+'data/image' + str(currentframe) + '.jpg'
       cv2.imwrite(name, frame)
       currentframe += 1
112
       print(currentframe)
       existeImage,frame = cam.read()
115 cam.release()
cv2.destroyAllWindows()
118 ## Liste moyennisee
119 listeMoyenne=[[np.average([liste_coord[cercle][im][c] for im in range(
      nombreImages)]) for c in range(2)] for cercle in range(nombreCercles)
```

```
120 listeCopie=cp.deepcopy(liste_coord)
for cercle in range(nombreCercles):
       for im in range(nombreImages):
122
           for c in range(2):
               listeCopie[cercle][im][c] -= listeMoyenne[cercle][c]
               listeCopie[cercle][im][c]/=80
126 ## Lissage + Maxima et minima
127 import numpy as np
128 from scipy.signal import argrelextrema
129 from scipy.signal import savgol_filter
130
131 <<
for c in range(nombreCercles):
       listeY=[listeCopie[c][x][1] for x in range(len(listeCopie[0]))]
       listeY=savgol_filter(listeY, 51, 10)
      # Ruse pour supprimer deux maxima consecutifs : on retire 10^[-10]
      au second
      for i in range(len(listeY)-1):
           if listeY[i] == listeY[i+1]:
137
               listeY[i+1] = listeY[i+1] - 10 **(-10)
       listeMax.append(argrelextrema(np.array(listeY), np.greater))
139
       listeMin.append(argrelextrema(np.array(listeY), np.less))
140
141 ## Trace un graphique
debut, fin=0, nombreImages
t = range (debut, fin)
144 s = []
145 fig, ax = plt.subplots()
  for c in range(nombreCercles):
       l=[listeCopie[c][x][1] for x in range(debut, fin)]
147
       ax.plot(t,1,linewidth=1)
148
       # pour les maxs :
149
      max = listeMax[c][0]
      t1=[t[m] for m in max]
151
      11=[1[m] for m in max]
152
      ax.scatter(max, 11)
153
      # pour les mins :
154
      min = listeMin[c][0]
      t1=[t[m] for m in min]
       11=[1[m] for m in min]
157
      ax.scatter(t1,11)
158
160 ax.set(xlabel='Temps (numero d\'image)', ylabel='Position (x)', title=
      str(nombreCercles) + ' metronomes')
161 ax.grid()
162 plt.show()
163
### Calcul du parametre d'ordre dynamique
import matplotlib.pyplot as plt
import matplotlib.image as mpimg
168 import numpy as np
169 import copy as cp
170 import cv2
171 import os
import scipy.integrate as integrate
173 import math
174
```

```
175 moyenne_des_signaux=[]
t = range(debut, fin)
177 for x in t:
       moyenne_des_signaux.append(listeCopie[0][x][1]-listeCopie[1][x][1])
178
180 def s(x):
       return moyenne_des_signaux[int(x)]
181
182
183 fig, ax = plt.subplots()
ax.plot(t, moyenne_des_signaux, linewidth=1)
plt.title("Exp rience 5 : diff rence des signaux")
188 ax.grid()
189 plt.show()
190
191 ##
192 \text{ Tmin} = 5
193 \text{ Tmax} = 10
194 pas = 10
195
196
197 # De 0 a 2pi
phi = [2*np.pi*i/pas for i in range(pas)]
201 pas = 10
202 phi = [2*np.pi*i/pas for i in range(pas)]
204 a = 2
205
206 b = 1
207 T = Tmin
208 A = integrate.quad(lambda x: math.sin(2*math.pi/T*x+phi[i])*s(x), 0, 1)
I = quad(integrand, 2, 3, args=(a,b))
212
213
214 ### Creer une video
215 import glob
cam = cv2. VideoCapture(path+nomImage)
217 existeImage,frame = cam.read()
frameSize = (len(frame[0]), len(frame))
219 out = cv2.VideoWriter(path+nomImage+'_stamped.avi',cv2.
      VideoWriter_fourcc(*'DIVX'), 80, frameSize)
220
221 for i in range(nombreImages):
       #print(path+'data/image'+str(i)+'.jpg')
       img = cv2.imread(path+'data/image'+str(i)+'.jpg')
223
       out.write(img)
225 out.release()
226 ### Affichage en PGFplot latex de listeCopie
temps_video=30
228
229 for c in range(nombreCercles):
     chr=''
230
for t in range(nombreImages):
```

```
chr+= '('+str(round(((t*temps_video)/nombreImages),3))+','+str(
232
      round(listeCopie[c][t][1],3))+')'
       print(chr)
233
       print("")
234
       print("")
235
       print("")
       print("")
237
       print("")
238
239
240 ### Affichage en PGFplot LaTeX de l'enveloppe
241 ## Maxima
242 for c in range(nombreCercles):
       chr=',
244
       for t in range(len(listeMax[c][0])):
           l=[listeCopie[c][x][1] for x in range(debut,fin)]
245
           chr+= '('+str(round((listeMax[c][0][t]*temps_video)/nombreImages
246
       ,3))+','+str(round(1[listeMax[c][0][t]],3))+')'
       print(chr)
247
       print("")
248
       print("")
249
       print("")
       print("")
251
       print("")
252
253
254 ## Minima
255 for c in range(nombreCercles):
       chr=',
256
       for t in range(len(listeMin[c][0])):
257
           l=[listeCopie[c][x][1] for x in range(debut,fin)]
           chr+= '('+str(round((listeMin[c][0][t]*temps_video)/nombreImages
259
       ,3))+','+str(round(l[listeMin[c][0][t]],3))+')'
       print(chr)
260
       print("")
261
       print("")
262
       print("")
263
       print("")
264
       print("")
265
```

#### Références

- [1] Laurie Conteville : Analyse de la stabilité des réseaux d'oscillateurs non linéaires, applications aux populations neuronales. 2013.
- [2] Bryan C. Daniels: Synchronization of globally coupled nonlinear oscillators: the rich behavior of the kuramoto model. May 2005.
- [3] V. K. Yadav; S. Batham; A. K. Acharya; R. PAUL: Approach to accurate circle detection: Circular hough transform and local maxima concept. *International Conference on Electronics and Communication Systems*, 2014.
- [4] Steven H. STROGATZ: From kuramoto to crawford: exploring the onset of synchronization in populations of coupled oscillators. June 2000.
- [5] WIKIPEDIA: Electric power transmission.